

# Polinômios de Bernstein para Análise de Elementos Finitos

Lucas B. Andrade

Novembro 2018

## Conteúdo

<b>1</b>	<b>Introdução</b>	<b>1</b>
<b>2</b>	<b>Os Polinômios de Bernstein</b>	<b>2</b>
<b>3</b>	<b>Momentos</b>	<b>3</b>
<b>4</b>	<b>Matriz de Massa</b>	<b>4</b>
<b>5</b>	<b>Matriz de Rigidez</b>	<b>6</b>
5.1	Quadriláteros . . . . .	7
5.2	Triângulos . . . . .	9
<b>6</b>	<b>Resultados</b>	<b>11</b>

## 1 Introdução

Neste trabalho são estudados os **polinômios de Bernstein** para utilização no método de elementos finitos. Este estudo se baseia principalmente nos desenvolvimentos realizados em [3].

Um estudo sobre o método de elementos finitos em uma dimensão e a utilização destes polinômios neste método foi realizado em [5].

O intuito de utilizar os polinômios de Bernstein para o método de elementos finitos seria de aumentar a eficiência dos algoritmos que envolvem o cálculo das matrizes que levarão à solução dada pelo método.

Tipicamente a matriz de um elemento, sobre  $\mathbb{P}_d^n$ , possui  $\mathcal{O}(n^{2d})$  entradas. Desta maneira, se considerarmos integração numérica para calcular cada uma dessas entradas, com  $\mathcal{O}(n^d)$  pontos de quadratura, ficamos com o custo de  $\mathcal{O}(n^{3d})$  para calcular a matriz de um elemento.

Neste estudo construiremos algoritmos que fazem o cálculo da matriz de um elemento com complexidade  $\mathcal{O}(n^{2d})$  para o caso em que  $d = 2$ , em elementos triangulares e quadriláteros. Para o caso em que  $d$  é arbitrário, veja [3].

## 2 Os Polinômios de Bernstein

Os polinômios de Bernstein em  $[0, 1]$  são definidos como

$$b_i^n(x) = \binom{n}{i} x^i \cdot (1-x)^{n-i} \quad (1)$$

Em que  $\binom{n}{i} = \frac{n!}{i!(n-i)!}$  é o coeficiente binomial. Vejamos algumas de suas propriedades que utilizaremos aqui:

- P1. Multiplicação:

$$b_i^n(x) b_j^m(x) = \frac{\binom{n}{i} \binom{m}{j}}{\binom{n+m}{i+j}} b_{i+j}^{n+m}(x) \quad (2)$$

- P2. Derivada:

$$\frac{d}{dx} b_i^n(x) = n(b_{i-1}^{n-1}(x) - b_i^{n-1}(x)) \quad (3)$$

Além disso pode-se provar que o conjunto  $\beta := \{B_i^n(x); i \in 0, \dots, n\}$  é uma base para o espaço de polinômios de grau  $n$ ,  $\mathbb{P}_n$ .

Podemos estender o domínio à  $[0, 1]^2$ , por exemplo, com um produto tensorial, obtendo

$$B_{\vec{\alpha}}^{\vec{n}}(\vec{x}) = b_{\alpha_1}^{n_1}(x_1) b_{\alpha_2}^{n_2}(x_2) \quad (4)$$

Em que  $\vec{\alpha} \in I_n^2 := \{\vec{\alpha}; \alpha_i \in \{0, \dots, n\} \text{ e } i \in \{1, 2\}\}$ .

Nos interessa também a definição desses polinômios em um *simplex* bidimensional (triângulo), para isso, primeiramente definimos  $\mathcal{I}_n^2 := \{\vec{\alpha}; \alpha_i \in \{0, \dots, n - \sum_{k=1}^{i-1} \alpha_k\} \text{ e } i \in \{1, 2, 3\}\}$ , um espaço de índices. E, dado um triângulo  $\mathbf{T}$ , não degenerado, de vértices  $\vec{v}_1, \vec{v}_2, \vec{v}_3$ , definimos as coordenadas baricêntricas com relação a este triângulo, como sendo  $\vec{\lambda} = (\lambda_1, \lambda_2, \lambda_3)$ , em que  $\sum_{i=1}^3 \lambda_i = 1$ , de tal forma que um ponto  $\vec{x}$  no plano possa ser escrito como

$$\vec{x} = \lambda_1 \vec{v}_1 + \lambda_2 \vec{v}_2 + \lambda_3 \vec{v}_3 \quad (5)$$

Observe que a cardinalidade de  $\mathcal{I}_n^2$  é  $\binom{n+2}{2}$ .

Desta forma define-se os polinômios de Bernstein em um triângulo como sendo:

$$\mathbf{B}_{\vec{\alpha}}^{\vec{n}}(\vec{x}) = \prod_{i=1}^3 \binom{n}{\alpha_i} \lambda_i^{\alpha_i} \quad (6)$$

### Transformação de Duffy e regra de Stroud

Para trabalhar com elementos triangulares utilizamos da transformação de Duffy, definida como sendo a transformação que leva pontos de  $[0, 1]^2$  em um triângulo  $\mathbf{T}$  de vértices  $\vec{v}_1, \vec{v}_2, \vec{v}_3$ .

$$\vec{x}(\xi, \eta) = \gamma_1 \vec{v}_1 + \gamma_2 \vec{v}_2 + \gamma_3 \vec{v}_3 \quad (7)$$

em que  $\xi, \eta \in [0, 1]$  e

$$\begin{aligned} \gamma_1 &= \xi \\ \gamma_2 &= (1 - \gamma_1)\eta \\ \gamma_3 &= 1 - \gamma_2 - \gamma_1 \end{aligned}$$

Através da transformação de Duffy podemos escrever o polinômio de Bernstein definido no triângulo como função dos polinômios de Bernstein unidimensionais. [3]

**Lema 1** *Seja  $\vec{\alpha} \in \mathcal{I}_n^2$  e  $\vec{x}(\xi, \eta)$  a transformação de Duffy, então*

$$\mathbf{B}_{\vec{\alpha}}^n(\vec{x}(\xi, \eta)) = b_{\alpha_1}^n(\xi) b_{\alpha_2}^{n-\alpha_1}(\eta)$$

Verifique a prova deste lema em [3].

Além disso, utilizando a transformação de Duffy, podemos calcular a integral de uma função  $f$  sobre um triângulo  $\mathbf{T}$  pela regra de quadratura de Stroud [3]

$$\int_{\mathbf{T}} f(\vec{x}) d\vec{x} = \frac{|\mathbf{T}|}{2} \int_0^1 (1-\xi) \int_0^1 f(\vec{x}(\xi, \eta)) d\eta d\xi \quad (8)$$

Desta forma se torna interessante utilizar a quadratura de Gauss-Jacobi

$$\int_0^1 (1-x)^a x^b f(x) dx \approx \sum_{i=0}^q \omega_i^{(a,b)} \xi_i^{(a,b)} \quad (9)$$

A qual, com  $q$  pontos de integração, tem precisão  $2q-1$ , pesos  $\omega_i^{(a,b)}$  positivos e pontos  $\xi_i^{(a,b)}$  dentro do intervalo  $[0, 1]$ , o caso  $a = b = 0$  se torna equivalente à quadratura de Gauss-Legendre. Podemos aproximar a integral de Stroud (8) utilizando a quadratura de Gauss-Jacobi fazendo

$$\int_{\mathbf{T}} f(\vec{x}) d\vec{x} \approx \frac{|\mathbf{T}|}{2} \sum_{i=0}^q \omega_i^{(1,0)} \sum_{j=0}^q \omega_j^{(0,0)} f(\vec{x}(\xi_i^{(1,0)}, \xi_j^{(0,0)})) \quad (10)$$

### 3 Momentos

Dada uma função  $\phi$  definimos como **momento** de  $\phi$  o valor  $\mu_{\vec{\alpha}}^n(\phi)$ , resultado da integral

$$\int_{\hat{\Omega}} B_{\vec{\alpha}}^n(\vec{x}) \hat{\phi}(\vec{x}) d\vec{x} \quad (11)$$

em que  $\hat{\Omega}$  é o **elemento mestre** [2] (e.g.  $[0, 1]^2$ ) e  $B_{\vec{\alpha}}^n$  representa o polinômio de Bernstein correspondente ao domínio  $\hat{\Omega}$ .

Veja a seguir os algoritmos para calcular os momentos para elementos triangulares e

quadrilaterais

---

**Algoritmo 1: MomentoTriangulo**( $\phi, n, q$ )

---

**Entrada:**  $\phi$ : Função  $\hat{\phi}$  avaliada nos pontos de integração mapeada ao elemento mestre;  $n$ : grau dos polinômios de Bernstein;  $q$ : número de pontos de integração;

**Saída** : Vetor  $\mu$  com os momentos  $\mu_\alpha^n(\hat{K})$  do elemento para todo  $\alpha \in I_n^2$

```

1 for  $i \leftarrow 1$  to  $q$  do
2    $s \leftarrow 1 - \xi_i^{(1,0)}$ ;  $r \leftarrow \xi_i^{(1,0)} / s$ ;
3    $w \leftarrow \omega_i^{(1,0)} * s^n$  for  $\alpha_1 \leftarrow 0$  to  $n$  do
4     for  $j \leftarrow 1$  to  $q$  do
5        $\alpha' = (\alpha_1, j) \in \mathcal{I}_k^2$ ,  $k = \max(n, q)$ ;
6        $\mu'_\alpha \leftarrow \mu'_\alpha + w * \phi[i, j]$ ;
7        $w \leftarrow w * r * \frac{n-\alpha_1}{1+\alpha_1}$ ;
8 for  $i \leftarrow 1$  to  $q$  do
9    $s \leftarrow 1 - \xi_i^{(0,0)}$ ;  $r \leftarrow \xi_i(0, 0) / s$ ;
10   $w \leftarrow \omega_i^{(0,0)} * s^{n-\alpha_1}$ ;
11  for  $\alpha_1 \leftarrow 0$  to  $n$  do
12    for  $\alpha_2 \leftarrow 0$  to  $n - \alpha_1$  do
13       $\alpha' = (\alpha_1, i) \in \mathcal{I}_k^2$ ,  $k = \max(n, q)$ ;
14       $\alpha = (\alpha_1, \alpha_2) \in \mathcal{I}_n^2$ ;
15       $\mu_\alpha \leftarrow \mu_\alpha + w * \mu'_{\alpha'}$ ;
16       $w \leftarrow w * r * \frac{n-\alpha_1-\alpha_2}{1+\alpha_2}$ 
17 return  $\mu$ 

```

---

Observe que o Algoritmo 1 tem número de operações da ordem de  $\mathcal{O}(nq^2 + n^2q)$ , se tomamos  $q \in \mathcal{O}(n)$  temos o gasto esperado de  $\mathcal{O}(n^3)$ .

O algoritmo para obter-se os momentos no quadrilátero, pode ser obtido trocando-se o parâmetro  $n - \alpha_1$  na linha 11 por  $n$ , e  $\mathcal{I}_m^2$  por  $I_m^2$

## 4 Matriz de Massa

A matriz de massa é a matriz que possui os elementos resultantes de

$$\int_{\hat{\Omega}} B_{\vec{\alpha}}^n(\xi, \eta) B_{\vec{\beta}}^n(\xi, \eta) \hat{K}(\xi, \eta) d\xi d\eta \quad (12)$$

para cada possível valor de  $\vec{\alpha}$  e  $\vec{\beta}$ , desta forma verifica-se que a matriz possui  $(n+1)^4$  entradas no caso do quadrilátero e  $\binom{n+2}{2}^2$  entradas no caso do triângulo.

Utilizando da propriedade (2) chegamos que a integral (12) pode ser escrita como

$$C \int_{\hat{\Omega}} B_{\vec{\alpha}+\vec{\beta}}^{2n}(\xi, \eta) \hat{K}(\xi, \eta) d\xi d\eta \quad (13)$$

em que

$$C = \binom{2n}{n}^{-2} \binom{\alpha_1 + \beta_1}{\alpha_1} \binom{2n - \alpha_1 - \beta_1}{n - \alpha_1} \binom{\alpha_2 + \beta_2}{\alpha_2} \binom{2n - \alpha_2 - \beta_2}{n - \alpha_2}$$

no caso do quadrilátero e

$$C = \frac{\binom{\alpha_1+\beta_1}{\alpha_1} \binom{2n-\alpha_1-\beta_1}{n-\alpha_1} \binom{\alpha_2+\beta_2}{\alpha_2} \binom{2n-\alpha_1-\alpha_2-\beta_1-\beta_2}{n-\alpha_1-\alpha_2}}{\binom{2n}{n} \binom{2n-\alpha_1-\beta_1}{n-\alpha_1}}$$

no caso do triângulo.

Desta forma podemos calcular os elementos da matriz de massa utilizando os momentos  $\mu_{\vec{\alpha}+\vec{\beta}}^{2n}(K)$ . Veja a seguir os algoritmos construídos para o caso do quadrilátero e do triângulo.

---

**Algoritmo 2: MassaQuadrilatero(K, 2n, q)**

---

**Entrada:** K: Função  $\hat{K}$  avaliada nos pontos de integração mapeada ao elemento mestre;  $n$ : grau dos polinômios de Bernstein;  $q$ : número de pontos de integração;

**Saída** : Matriz de massa  $A$  do elemento

```

1  $\mu \leftarrow$  MomentoQuadrilatero(K,n,q);
2  $C \leftarrow 1/\binom{2n}{n}^2$ ;
3 for  $\alpha_1 \leftarrow 0$  to  $n$  do
4   for  $\beta_1 \leftarrow 0$  to  $n$  do
5      $w_1 \leftarrow C * \binom{\alpha_1+\beta_1}{\alpha_1} \binom{2n-\alpha_1-\beta_1}{n-\alpha_1}$ ;
6     for  $\alpha_2 \leftarrow 0$  to  $n$  do
7       for  $\beta_2 \leftarrow 0$  to  $n$  do
8          $w_2 \leftarrow w_1 * \binom{\alpha_2+\beta_2}{\alpha_2} \binom{2n-\alpha_2-\beta_2}{n-\alpha_1}$ ;
9          $\alpha = (\alpha_1, \alpha_2), \beta = (\beta_1, \beta_2) \in I_n^2$ ;
10         $A_{\alpha,\beta} \leftarrow w_2 * \mu_{\alpha+\beta}$ ;
11 return  $A$ 
```

---

Utilizando a matriz de Pascal, podemos pre-computar os valores dos coeficientes binomiais utilizados por este algoritmo e por todos os algoritmos deste estudo, fazendo com que a obtenção deste tenha gasto  $\mathcal{O}(1)$ . Desta forma o algoritmo tem complexidade de tempo  $\mathcal{O}(n^4)$ , já que o algoritmo **MomentoQuadrilatero** tem gasto  $\mathcal{O}(n^3)$  (quando o número de pontos de integração numérica é da ordem de  $n$  em cada variável) e os laços executam tarefas com gasto total  $\mathcal{O}(n^4)$ .

Além disso o algoritmo acima pode ser modificado para se utilizar valores diferentes para o grau do polinômio em cada uma das variáveis, se tivéssemos, por exemplo,

$B_{\alpha}^{(n,m)}(\xi, \eta)$  bastaria apenas trocar os limites dos laços de  $\alpha_2$  e  $\beta_2$  para  $m$ .

---

**Algoritmo 3: MassaTriangulo(K, 2n, q)**

---

**Entrada:** K: Função  $\hat{K}$  avaliada nos pontos de integração mapeada ao elemento mestre; n: grau dos polinômios de Bernstein; q: número de pontos de integração;

**Saída :** Matriz de massa  $A$  do elemento

```

1  $\mu \leftarrow \text{MomentoTriangulo}(K, n);$ 
2  $C \leftarrow 1/\binom{2n}{n};$ 
3 for  $\alpha_1 \leftarrow 0$  to  $n$  do
4   for  $\beta_1 \leftarrow 0$  to  $n$  do
5      $w_1 \leftarrow C * \binom{\alpha_1 + \beta_1}{\alpha_1};$ 
6     for  $\alpha_2 \leftarrow 0$  to  $n - \alpha_1$  do
7       for  $\beta_2 \leftarrow 0$  to  $n - \beta_1$  do
8          $w_2 \leftarrow w_1 * \binom{\alpha_2 + \beta_2}{\alpha_2} \binom{2n - \alpha_1 - \alpha_2 - \beta_1 - \beta_2}{n - \alpha_1};$ 
9          $\alpha = (\alpha_1, \alpha_2, n - \alpha_1 - \alpha_2), \beta = (\beta_1, \beta_2, n - \beta_1 - \beta_2) \in \mathcal{I}_n^2;$ 
10         $A_{\alpha, \beta} \leftarrow w_2 * \mu_{\alpha + \beta};$ 
11 return  $A$ 
```

---

Assim como o algoritmo para o quadrilátero, este algoritmo tem complexidade de tempo  $\mathcal{O}(n^4)$ .

## 5 Matriz de Rigidez

A matriz de rigidez é composta pelos elementos da seguinte integral

$$\int_{\Omega} \vec{\nabla} B_{\alpha}^n(x, y) \vec{\nabla} B_{\beta}^n(x, y) W(x, y) \, dx dy \quad (14)$$

Esta integral pode ser calculada com o mapeamento ao **elemento mestre** pois se tem a seguinte relação:

$$\vec{\nabla} B_{\alpha}^n(x, y) \vec{\nabla} B_{\beta}^n(x, y) = (J^{-T} \hat{\vec{\nabla}} B_{\alpha}^n(\xi, \eta) \cdot J^{-T} \hat{\vec{\nabla}} B_{\beta}^n(\xi, \eta)) \quad (15)$$

em que  $J$  é a matriz Jacobiana da transformação que mapeia  $(\xi, \eta) \in \hat{\Omega}$  para  $(x, y) \in \Omega$ .

Desta forma podemos calcular a matriz de rigidez substituindo (15) em (14) e decompondo em três integrais:

$$\int_{\hat{\Omega}} \frac{\partial}{\partial \xi} B_{\alpha}^n(\xi, \eta) \frac{\partial}{\partial \eta} B_{\beta}^n(\xi, \eta) \hat{W}_1(\xi, \eta) \, d\xi d\eta \quad (16)$$

$$\int_{\hat{\Omega}} \frac{\partial}{\partial \xi} B_{\alpha}^n(\xi, \eta) \frac{\partial}{\partial \xi} B_{\beta}^n(\xi, \eta) \hat{W}_2(\xi, \eta) \, d\xi d\eta \quad (17)$$

$$\int_{\hat{\Omega}} \frac{\partial}{\partial \eta} B_{\alpha}^n(\xi, \eta) \frac{\partial}{\partial \eta} B_{\beta}^n(\xi, \eta) \hat{W}_3(\xi, \eta) \, d\xi d\eta \quad (18)$$

Assim como no caso anterior, da matriz de massa, obtemos resultados dos integrandos em função da base de Bernstein a fim de se obter um algoritmo com complexidade ótima.

## 5.1 Quadriláteros

Para a equação (16) ficamos com

$$\frac{\partial}{\partial \xi} B_{\vec{\alpha}}^n(\xi, \eta) \frac{\partial}{\partial \eta} B_{\vec{\beta}}^n(\xi, \eta) = \frac{n^2}{\binom{2n-1}{n-1}^2} \left( C_1 B_{\vec{\alpha}+\vec{\beta}-e_1-e_2}^{2n-1} + C_2 B_{\vec{\alpha}+\vec{\beta}}^{2n-1} - C_3 B_{\vec{\alpha}+\vec{\beta}-e_1}^{2n-1} - C_4 B_{\vec{\alpha}+\vec{\beta}-e_2}^{2n-1} \right) \quad (19)$$

Em que  $e_1 = (1, 0)$ ,  $e_2 = (0, 1)$ , e

$$\begin{aligned} C_1 &= \binom{\alpha_1 + \beta_1 - 1}{\alpha_1 - 1} \binom{\alpha_2 + \beta_2 - 1}{\alpha_2 - 1} \binom{2n - \alpha_1 - \beta_1 + 1}{n - \alpha_1 + 1} \binom{2n - \alpha_2 - \beta_2 + 1}{n - \alpha_2 + 1}; \\ C_2 &= \binom{\alpha_1 + \beta_1}{\alpha_1} \binom{\alpha_2 + \beta_2}{\alpha_2} \binom{2n - \alpha_1 - \beta_1}{n - \alpha_1} \binom{2n - \alpha_2 - \beta_2}{n - \alpha_2}; \\ C_3 &= \binom{\alpha_1 + \beta_1 - 1}{\alpha_1 - 1} \binom{\alpha_2 + \beta_2}{\alpha_2} \binom{2n - \alpha_1 - \beta_1 + 1}{n - \alpha_1 + 1} \binom{2n - \alpha_2 - \beta_2}{n - \alpha_2}; \\ C_4 &= \binom{\alpha_1 + \beta_1}{\alpha_1} \binom{\alpha_2 + \beta_2 - 1}{\beta_2 - 1} \binom{2n - \alpha_1 - \beta_1}{n - \alpha_1} \binom{2n - \alpha_2 - \beta_2 + 1}{n - \beta_2 + 1}. \end{aligned}$$

Para a equação (17) ficamos com

$$\frac{\partial}{\partial \xi} B_{\vec{\alpha}}^n(\xi, \eta) \frac{\partial}{\partial \xi} B_{\vec{\beta}}^n(\xi, \eta) = b_{\alpha_2 + \beta_2}^{2n}(\eta) C_1 \left( C_2 b_{\alpha_1 + \beta_1 - 2}^{2n-2}(\xi) + C_3 b_{\alpha_1 + \beta_1}^{2n-2}(\xi) - C_4 b_{\alpha_1 + \beta_1 - 1}^{2n-2} \right) \quad (20)$$

em que, neste caso

$$\begin{aligned} C_1 &= n^2 \frac{\binom{\alpha_2 + \beta_2}{\alpha_2}}{\binom{2n}{n} \binom{2n-2}{n-1}}; \\ C_2 &= \binom{\alpha_1 + \beta_1 - 2}{\alpha_1 - 1} \binom{2n - \alpha_1 - \beta_1 + 2}{n - \alpha_1 + 1}; \\ C_3 &= \binom{\alpha_1 + \beta_1}{\alpha_1} \binom{2n - \alpha_1 - \beta_1}{n - \alpha_1}; \\ C_4 &= \binom{\alpha_1 + \beta_1 - 1}{\alpha_1 - 1} \binom{2n - \alpha_1 - \beta_1 + 1}{n - \alpha_1 + 1} + \binom{\alpha_1 + \beta_1 - 1}{\beta_1 - 1} \binom{2n - \alpha_1 - \beta_1 + 1}{n - \beta_1 + 1}. \end{aligned}$$

O caso da equação (18) é similar ao acima, invertendo-se os índices de  $\alpha$  e  $\beta$ . A seguir os algoritmos para cada um desses casos.

---

**Algoritmo 4: XiEtaQuadrilatero**(W, n, q)

---

**Entrada:** W: Função  $\hat{W}$  avaliada nos pontos de integração mapeada ao elemento mestre; n: graus dos polinômios de Bernstein; q: número de pontos de integração;

**Saída** : Matriz com os valores de (16)  $\forall \vec{\alpha}, \vec{\beta} \in I_n^2$

```
1  $\mu \leftarrow \text{MomentoQuadrilatero}(K, 2n-1, q);$ 
2  $C \leftarrow n^2 / \binom{2n-1}{n-1}^2;$ 
3 for  $\alpha_1 \leftarrow 0$  to  $n-1$  do
4   for  $\beta_1 \leftarrow 0$  to  $n$  do
5      $w_1 \leftarrow C * \binom{\alpha_1+\beta_1}{\alpha_1} * \binom{2n-\alpha_1-\beta_1-1}{n-\alpha_1-1};$ 
6     for  $\alpha_2 \leftarrow 0$  to  $n$  do
7       for  $\beta_2 \leftarrow 0$  to  $n-1$  do
8          $\alpha = (\alpha_1, \alpha_2); \beta = (\beta_1, \beta_2) \in I_n^2;$ 
9          $w_2 \leftarrow w_1 * \binom{\alpha_2+\beta_2}{\alpha_2} \binom{2n-\alpha_2-\beta_2-1}{n-\alpha_2-1};$ 
10         $w_3 \leftarrow w_2 * \mu_{\alpha+\beta};$ 
11         $A_{\alpha,\beta} \leftarrow A_{\alpha,\beta} + w_3;$ 
12         $A_{\alpha+e_1,\beta+e_2} \leftarrow A_{\alpha+e_1,\beta+e_2} + w_3;$ 
13         $A_{\alpha+e_1,\beta} \leftarrow A_{\alpha+e_1,\beta} - w_3;$ 
14         $A_{\alpha,\beta+e_2} \leftarrow A_{\alpha,\beta+e_2} - w_3;$ 
15 return A
```

---

---

**Algoritmo 5: XiXiQuadrilatero**(W, n, q)

---

**Entrada:** W: Função  $\hat{W}$  avaliada nos pontos de integração mapeada ao elemento mestre; n: graus dos polinômios de Bernstein; q: número de pontos de integração;

**Saída** : Matriz com os valores de (17)  $\forall \vec{\alpha}, \vec{\beta} \in I_n^2$

```
1  $\mu \leftarrow \text{MomentoQuadrilatero}(K, \{2n_1-2, 2n_2\}, q);$ 
2  $C \leftarrow n^2 / \binom{2n}{n} \binom{2n-2}{n-1};$ 
3 for  $\alpha_1 \leftarrow 0$  to  $n-1$  do
4   for  $\beta_1 \leftarrow 0$  to  $n-1$  do
5      $w_1 \leftarrow C * \binom{\alpha_1+\beta_1}{\alpha_1} * \binom{2n-\alpha_1-\beta_1-2}{n-\alpha_1-1};$ 
6     for  $\alpha_2 \leftarrow 0$  to  $n$  do
7       for  $\beta_2 \leftarrow 0$  to  $n$  do
8          $\alpha = (\alpha_1, \alpha_2); \beta = (\beta_1, \beta_2) \in I_n^2;$ 
9          $w_2 \leftarrow w_1 * \binom{\alpha_2+\beta_2}{\alpha_2} \binom{2n-\alpha_2-\beta_2}{n-\alpha_2};$ 
10         $w_3 \leftarrow w_2 * \mu_{\alpha+\beta};$ 
11         $A_{\alpha,\beta} \leftarrow A_{\alpha,\beta} + w_3;$ 
12         $A_{\alpha+e_1,\beta+e_1} \leftarrow A_{\alpha+e_1,\beta+e_1} + w_3;$ 
13         $A_{\alpha+e_1,\beta} \leftarrow A_{\alpha+e_1,\beta} - w_3;$ 
14         $A_{\alpha,\beta+e_1} \leftarrow A_{\alpha,\beta+e_1} - w_3;$ 
15 return A
```

---



---

**Algoritmo 6: EtaEtaQuadrilatero**(W, n, q)
 

---

**Entrada:** W: Função  $\hat{W}$  avaliada nos pontos de integração mapeada ao elemento mestre; n: graus dos polinômios de Bernstein; q: número de pontos de integração;

**Saída** : Matriz com os valores de (17)  $\forall \vec{\alpha}, \vec{\beta} \in I_n^2$

```

1  $\mu \leftarrow \text{MomentoQuadrilatero}(K, \{2n_1, 2n_2-2\}, q);$ 
2  $C \leftarrow n^2 / \binom{2n}{n} \binom{2n-2}{n-1};$ 
3 for  $\alpha_1 \leftarrow 0$  to  $n$  do
4   for  $\beta_1 \leftarrow 0$  to  $n$  do
5      $w_1 \leftarrow C * \binom{\alpha_1+\beta_1}{\alpha_1} * \binom{2n-\alpha_1-\beta_1}{n-\alpha_1};$ 
6     for  $\alpha_2 \leftarrow 0$  to  $n-1$  do
7       for  $\beta_2 \leftarrow 0$  to  $n-1$  do
8          $\alpha = (\alpha_1, \alpha_2); \beta = (\beta_1, \beta_2) \in I_n^2;$ 
9          $w_2 \leftarrow w_1 * \binom{\alpha_2+\beta_2}{\alpha_2} \binom{2n-\alpha_2-\beta_2-2}{n-\alpha_2-1};$ 
10         $w_3 \leftarrow w_2 * \mu_{\alpha+\beta};$ 
11         $A_{\alpha,\beta} \leftarrow A_{\alpha,\beta} + w_3;$ 
12         $A_{\alpha+e_2,\beta+e_2} \leftarrow A_{\alpha+e_2,\beta+e_2} + w_3;$ 
13         $A_{\alpha+e_2,\beta} \leftarrow A_{\alpha+e_2,\beta} - w_3;$ 
14         $A_{\alpha,\beta+e_2} \leftarrow A_{\alpha,\beta+e_2} - w_3;$ 
15 return A
  
```

---

## 5.2 Triângulos

Para o caso dos elementos triangulares, pode-se utilizar as seguintes relações [3] para fazer o cálculo da Matriz de Rigidez

$$\vec{\nabla} \lambda_i = \frac{|\vec{\gamma}_i|}{2|T|} \vec{n} \quad (21)$$

$$\vec{\nabla} \mathbf{B}_{\vec{\alpha}}^n(\vec{x}) = \binom{n}{\vec{\alpha}} \alpha_1 \mathbf{B}_{\vec{\alpha}-e_1}^{n-1}(\vec{x}) \vec{\nabla} \lambda_1 + \alpha_2 \mathbf{B}_{\vec{\alpha}-e_2}^{n-1}(\vec{x}) \vec{\nabla} \lambda_2 + \alpha_3 \mathbf{B}_{\vec{\alpha}-e_3}^{n-1}(\vec{x}) \vec{\nabla} \lambda_3 \quad (22)$$

Em que  $|\vec{\gamma}_i|$  é o comprimento do lado  $\vec{\gamma}_i$  oposto ao vértice  $\vec{v}_i$  do triângulo,  $\vec{n}$  é o vetor normal à  $\gamma_i$ , e  $e_i \in \{\alpha \in \mathcal{I}_1^2; \alpha_i = 1\}$ . Utilizando as equações acima obtêm-se que

$$\vec{\nabla} \mathbf{B}_{\vec{\alpha}}^n(\vec{x}) \cdot \vec{\nabla} \mathbf{B}_{\vec{\beta}}^n(\vec{x}) = \frac{n^2}{\binom{2n-2}{n-2}} \sum_{k=1}^3 \sum_{l=1}^3 \vec{\nabla} \lambda_k \cdot \vec{\nabla} \lambda_l C_{k,l} \mathbf{B}_{\vec{\alpha}-e_k+\vec{\beta}-e_l}^{2n-2}(\vec{x}) \quad (23)$$

Em que

$$C_{k,l} = \begin{pmatrix} \vec{\alpha} - e_k + \vec{\beta} - e_l \\ \vec{\alpha} - e_k \end{pmatrix}$$

e se  $\vec{\alpha}, \vec{\beta} \in \mathcal{I}_n^d$ , então

$$\binom{n}{\vec{\alpha}} = \prod_{i=1}^d \binom{n}{\alpha_i}, \text{ e } \binom{\vec{\alpha}}{\vec{\beta}} = \prod_{i=1}^d \binom{\alpha_i}{\beta_i}$$

Assim podemos calcular a matriz de rigidez com o algoritmo 8.

Utilizaremos o seguinte algoritmo como rotina auxiliar para calcular a matriz de rigidez

---

**Algoritmo 7: ProdutosNormal(T)**

---

**Entrada:** T: Triângulo do elemento com vértices  $v_1, v_2, v_3$

**Saída** : Matriz com os valores de  $\vec{\nabla} \lambda_k \cdot \vec{\nabla} \lambda_l$ ,  $1 \leq k, l \leq 3$

//  $\vec{n}$  armazenará os vetores normais

```

1  $\vec{n}_{1,x} \leftarrow v_{2,y} - v_{3,y};$ 
2  $\vec{n}_{1,y} \leftarrow v_{3,x} - v_{2,x};$ 
3  $\vec{n}_{2,x} \leftarrow v_{3,y} - v_{1,y};$ 
4  $\vec{n}_{2,y} \leftarrow v_{1,x} - v_{3,x};$ 
5  $\vec{n}_{3,x} \leftarrow v_{1,y} - v_{2,y};$ 
6  $\vec{n}_{3,y} \leftarrow v_{2,x} - v_{1,x};$ 
7 foreach  $1 \leq k, l \leq 3$  do
8    $N_{k,l} \leftarrow \vec{n}_k \cdot \vec{n}_l;$ 
9 return N

```

---



---

**Algoritmo 8: RigidezTriangulo(W, n, q)**

---

**Entrada:** W: Função  $\hat{W}$  avaliada nos pontos de integração mapeada ao elemento mestre; n: graus dos polinômios de Bernstein; q: número de pontos de integração;

**Saída** : Matriz com os valores de (14)  $\forall \vec{\alpha}, \vec{\beta} \in \mathcal{I}_n^2$

```

1  $\mu \leftarrow \text{MomentoTriangulo}(K, 2n-2, q);$ 
2  $N \leftarrow \text{ProdutosNormal}(\mathbf{T});$  // T é o triângulo do elemento para o qual a
   matriz está sendo calculada
3  $C \leftarrow n^2 / \binom{2n-1}{n-1}^2;$ 
4 for  $\alpha_1 \leftarrow 0$  to  $n$  do
5   for  $\beta_1 \leftarrow 0$  to  $n$  do
6      $w_1 \leftarrow C * \binom{\alpha_1 + \beta_1}{\alpha_1} * \binom{2n - \alpha_1 - \beta_1 - 1}{n - \alpha_1 - 1};$ 
7     for  $\alpha_2 \leftarrow 0$  to  $n - \alpha_1$  do
8       for  $\beta_2 \leftarrow 0$  to  $n - \beta_1$  do
9          $\alpha = (\alpha_1, \alpha_2, n - \alpha_1 - \alpha_2); \beta = (\beta_1, \beta_2, n - \beta_1 - \beta_2) \in I_n^2;$ 
10         $w_2 \leftarrow w_1 * \binom{\alpha_2 + \beta_2}{\alpha_2} \binom{2n - \alpha_2 - \beta_2 - 1}{n - \alpha_2 - 1} * \mu_{\alpha + \beta};$ 
11         $A_{\alpha, \beta} \leftarrow A_{\alpha, \beta} + w_2 * N_{3,3};$ 
12         $A_{\alpha + e_1, \beta} \leftarrow A_{\alpha + e_1, \beta} + w_2 * N_{1,3};$ 
13         $A_{\alpha + e_1, \beta + e_1} \leftarrow A_{\alpha + e_1, \beta + e_1} + w_2 * N_{1,1};$ 
14         $A_{\alpha, \beta + e_1} \leftarrow A_{\alpha, \beta + e_1} + w_2 * N_{3,1};$ 
15         $A_{\alpha + e_2, \beta} \leftarrow A_{\alpha + e_2, \beta} + w_2 * N_{2,3};$ 
16         $A_{\alpha + e_2, \beta + e_2} \leftarrow A_{\alpha + e_2, \beta + e_2} + w_2 * N_{2,2};$ 
17         $A_{\alpha, \beta + e_2} \leftarrow A_{\alpha, \beta + e_2} + w_2 * N_{3,2};$ 
18         $A_{\alpha + e_1, \beta + e_2} \leftarrow A_{\alpha + e_1, \beta + e_2} + w_2 * N_{1,2};$ 
19         $A_{\alpha + e_2, \beta + e_1} \leftarrow A_{\alpha + e_2, \beta + e_1} + w_2 * N_{2,1};$ 
20 return A

```

---

## 6 Resultados

Os algoritmos acima apresentados foram implementados em linguagem C++ com orientação a objetos ([repositório no GitHub](#) [6]) e utilizados para computar o tempo de execução a fim de comparar com os métodos implementados na biblioteca [NeoPZ](#) [7].

Foram realizadas comparações apenas sobre o tempo de execução para a construção da **Matriz de Rigidez**. Veja nas figuras 1 e 2 os gráficos de tempo de execução em função da ordem polinomial  $n$  utilizada. Veja também as tabelas 1 e 2 com a razão entre o tempo de execução para cada caso. O número de pontos de integração utilizado em ambos os casos é de  $n + 1$ .

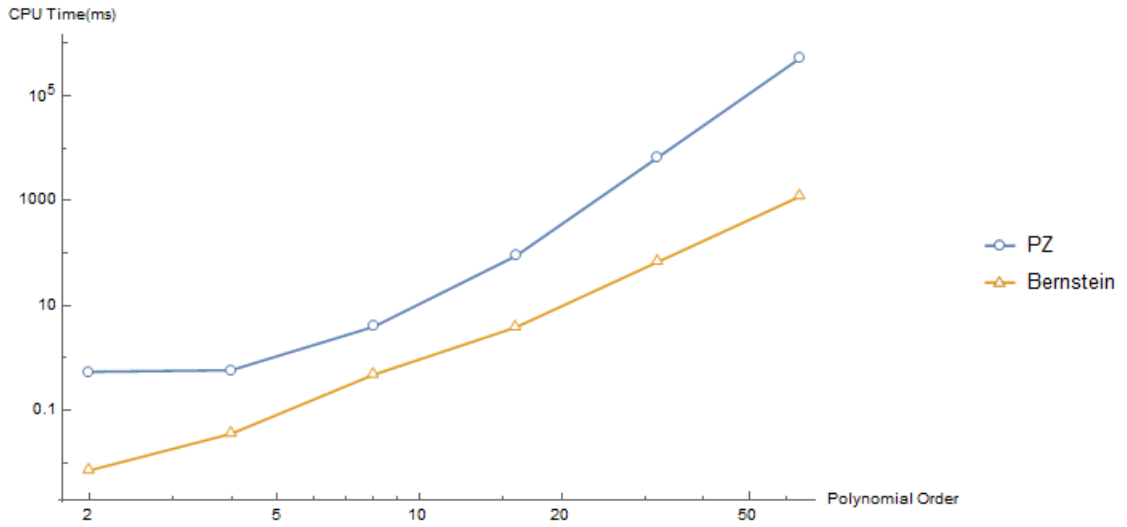


Figura 1: Gráfico comparando o tempo de execução (CPU Time) em função da ordem polinomial  $n$  utilizada nos cálculos para os elementos **Quadriláteros** no ambiente NeoPZ e a implementação dos algoritmos apresentados (Bernstein).

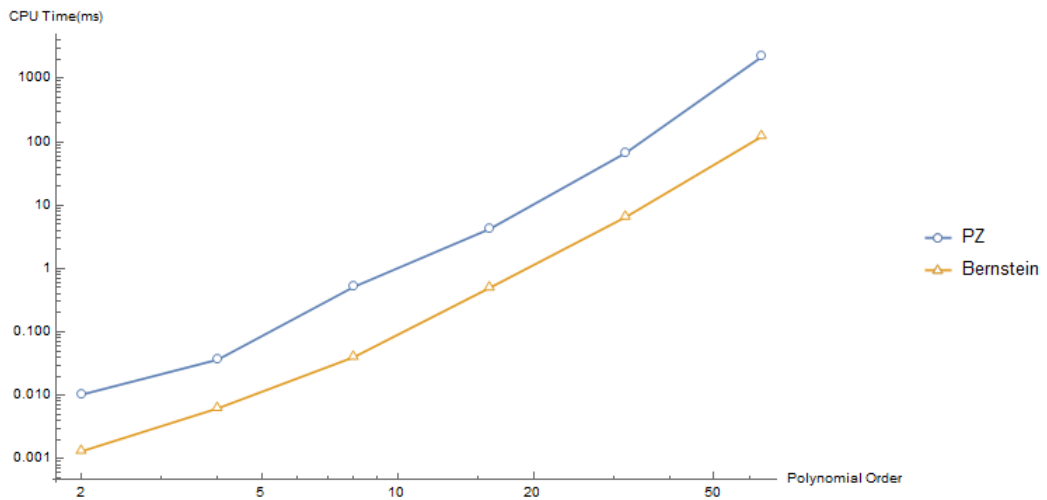


Figura 2: Gráfico comparando o tempo de execução (CPU Time) em função da ordem polinomial  $n$  utilizada nos cálculos para os elementos **Triangulares** no ambiente NeoPZ e a implementação dos algoritmos apresentados (Bernstein).

Tabela 1: Tabela com a razão entre os tempos de execução para o cálculo da Matriz de Rigidez obtidos utilizando o NeoPZ e utilizando polinômios de Bernstein para elementos Quadriláteros.

$n$	2	4	8	16	32	64
$\frac{t_{PZ}}{t_B}$	75.4	16.2	8.16	22.8	97.5	428

Tabela 2: Tabela com a razão entre os tempos de execução para o cálculo da Matriz de Rigidez obtidos utilizando o NeoPZ e utilizando polinômios de Bernstein para elementos Triangulares.

$n$	2	4	8	16	32	64
$\frac{t_{PZ}}{t_B}$	7.84	5.86	12.8	8.50	10.3	18.0

O código foi compilado utilizando o MSVC. Os testes foram realizados em máquina com processador Intel i7-7700HQ e 16GB de memória, com sistema operacional Windows 10 64 bits. Resultados também foram testados no Linux Ubuntu 18.04, sem mudanças significativas.

## Referências

- [1] G. Hammerlin; K-H. Hoffman, *Numerical Mathematics. Springer, 1991, XII, 425 p.*
- [2] J. T. Oden; G. F. Carey, *Finite Elements: Mathematical Aspects, Prentice Hall INC., 1997*
- [3] M. Ainsworth; G. Andriamaro; O. Davydov, Bernstein–Bézier Finite Element of Arbitrary Order and Optimal Assembly Procedures, *SIAM J. SCI.COMPUT: Vol. 33, No. 6, pp. 3087–3109*
- [4] P. Pulino; M. R. Fernandes, Resolução de Equações Diferenciais via Método de Elementos Finitos, *2002*
- [5] L. B. Andrade; S. M. Gomes; P. R. Devloo, Polinômios de Bernstein para o Método de Galerkin, *2017*
- [6] Repositório no GitHub contendo os códigos utilizados nos testes deste trabalho <https://github.com/AndradeL/BernsteinFEM>
- [7] Página sobre o ambiente NeoPZ <http://www.labmec.org.br/pz/arquivos-html/html/index.html>